

] 10 5r •

KAWASAKI STEEL GIHO

Vol.17 (1985) No.1

, D š } 2 TMCP _ | ~0 4 K S 50 kgf/mm² (í9x G Š5đ b\$B , "I ö
Fatigue Properties of 50 kgf/mm² High Tensile Strength Ship Hull Structural Steel
Manufactured by Thermomechanical Control Process

Ç • 5 Ç(Shigeto Matsumoto) B • ...7(Asao Narumoto) 2! í (Chiaki
Shiga) V#ã Ÿ U(Syuzo Ueda)

0[" :
, D š } 2 (TMCP) _ | • 50 kgf/mm² (í9x G Š5đ b\$B , "I ö †3Ù m S TMPC | c f €
S P K ö \9x L † ö † w M • @>*\$B , | Ø b0{!! ? } È L %o ¥\$B , "I ö \± °!Õ P K!Õ s
8j4Š(HAZ) 3> i b s8j †1* K S È L %o ¥\$B , | Ø c S

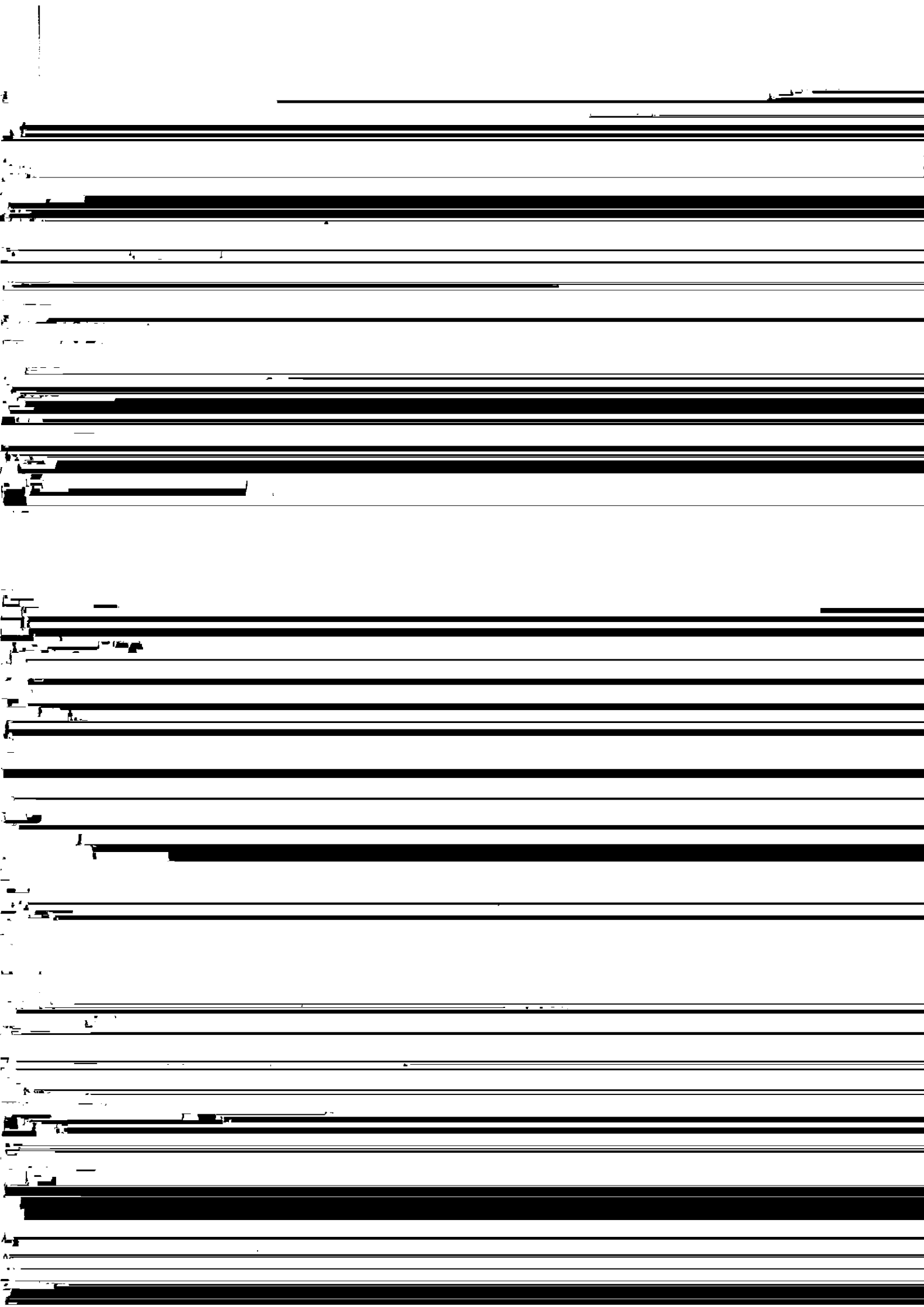


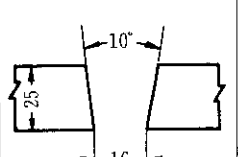
Table 1 Chemical composition of materials

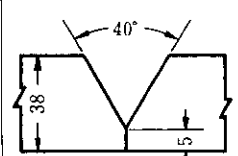
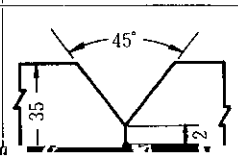
(wt %)

Process	Steel		Thick-ness (mm)	C	Si	Mn	P	S	Al	Cu	Ni	V	C_{eq}	P_{cm}
MACS-ACC	M 1	AH36	25	0.17	0.21	0.69	0.012	0.002	0.029	—	—	—	0.29	0.212
	M 2		35	0.15	0.24	1.01	0.014	0.003	0.031	—	—	—	0.32	0.209
	M 3		35	0.14	0.25	1.04	0.013	0.003	0.034	—	—	—	0.31	0.200
	M 4	EH36	38	0.08	0.26	1.48	0.009	0.001	0.039	—	—	—	0.33	0.163
KTR	K 1	EH36	38	0.07	0.31	1.56	0.010	0.001	0.028	0.20	0.22	0.037	0.37	0.176
	K 2		35	0.08	0.41	1.50	0.006	0.001	0.030	0.20	0.21	0.036	0.37	0.186
	K 3		35	0.09	0.42	1.50	0.014	0.003	0.032	0.15	0.14	0.042	0.37	0.193
Conven.	C 1	SM50	35	0.18	0.37	1.36	0.017	0.003	0.033	0.008	0.016	0.003	*0.42	0.261
	C 2		35	0.16	0.35	1.40	0.017	0.008	0.031	0.009	0.013	0.003	*0.41	0.243

$$C_{eq} = C + Mn/6 + (Cu + Ni)/15 + (Cr + Mo + V)/5 \text{ (%)}$$

Table 3 High heat input welding conditions

Process	Steel	Welding method	Shape of groove	Welding current (A)	Arc voltage (V)	Travel speed (cm/min)	Heat input (kJ/cm)
MACS	M 1	EG		660	30	7.2	165
	M 2	CES		500	40	1.9	632

MACS	M 4	One side welding (OSW)		1 450	33	38	266	
KTR	K 1			1 350	42			
				1 200	53			
KTR	K 3			1 350	36	25	229	

4. 带与油压床带速接触土, 由1、剪应力比(最大应力/最小应力) $R =$

Table 4 Tensile properties of high heat input welding joints

0.04 とし、き裂長さの測定はクラックゲージを用いて行った。繰

に示す。一般に小入熱溶接継手の K_t は 3~4 程度の場合が多く、これに比べると大入熱溶接継手の K_t は小さい傾向がみられる。こ

3.4 疲労試験結果

3.4.1 小入熱溶接継手の疲労強度

材 X 方向 Z 方向および鍛正疲労試験の S-N 曲線をまとめ示す。

(OSW) および M 3 鋼 (CES) について HAZ 軟化部の疲労強度を

σ_{wN} は $33 \sim 35 \text{ kgf/mm}^2$, 従来材のそれは 31 kgf/mm^2 である。Z 方向の MACS, KTR 材の 2×10^5 回疲労強度, σ_{wz} は $24 \sim 25 \text{ kgf/mm}^2$, 従来材のそれは $18.4 \sim 20.4 \text{ kgf/mm}^2$ である。MACS 材と KTR 材の疲労強度差はほとんどなく、従来材のそれに比較して $4 \sim 5 \text{ kgf/mm}^2$ 高いが、短寿命領域 ($N \leq 10^4$) での疲労強度差は比較的小さくなる。従来材の短寿命域での疲労強度は S 曲の少な

N 曲線を Fig. 7 に示す。また、M 4 鋼母材の平滑ならびに切欠試験片の疲労強度を比較のため Fig. 7 に併記した。母材と HAZ 最軟化部の疲労強度の差は、 $K_t=1$ では $3 \sim 5 \text{ kgf/mm}^2$, $K_t=1.9$ では約 4 kgf/mm^2 , $K_t=3$ では $1 \sim 2 \text{ kgf/mm}^2$ であり、HAZ 最軟化部の疲労強度は母材のそれより低下するが、 K_t の増加とともにその差は少なくななる。母材の疲労強度に対する HAZ 部の疲労強度の比



3.5 疲労き裂伝播試験

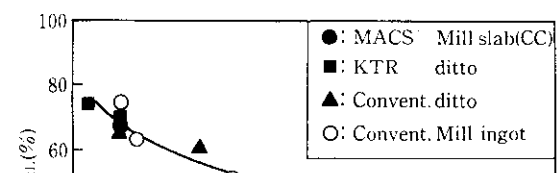
3.5.1 母材のき裂伝播試験

Fig. 8 および Fig. 9 は MACS, KTR ならびに従来材の母材 L 方向および Z 方向の疲労き裂伝播特性を示す。MACS 材 (M 4 鋼) 母材 L 方向では CCT 試験片を、それ以外は全て CT 試験片を用

いると言える。S 含有量の多い C 2 鋼の疲労き裂伝播速度は他のそれより速く、高 ΔK 領域においてその傾向は顕著となる。S 量が増加すると m の値が大きくなることが知られており¹²、これと同様な傾向を示す。

3.5.2 大入熱溶接継手 HAZ のき裂伝播特性

Fig. 10 に MACS, KTR ならびに従来材の大入熱溶接継手 HAZ



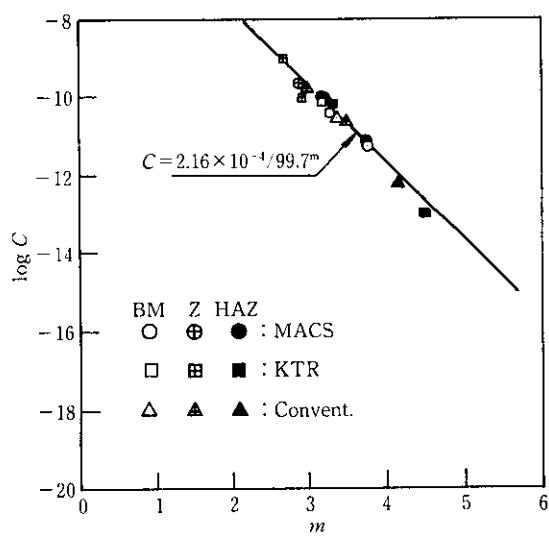


Fig. 15 Correlation between m and Log C in Paris' formula

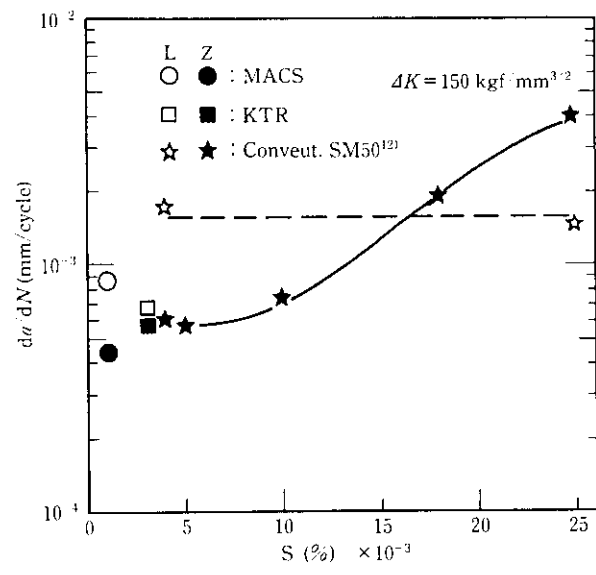
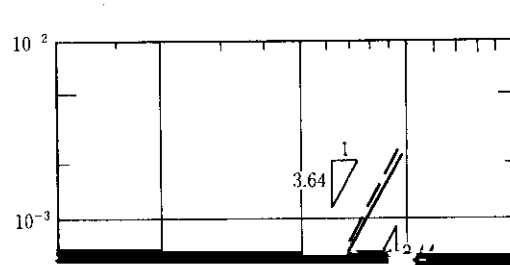


Fig. 15 Correlation between m and Log C in Paris' formula



propagation rates

式の関係が認められている。

m_0 , β については実験者により種々の値が示されているが、多く

kgf/mm²、従来材のそれは約 15 kgf/mm² で、TMCP 材の疲労強度は従来材のそれに比し同等以上の特性である。

- (3) 溶接余盛止端部での応力集中係数 K_t は 1.39~3.16 であり、 K_t が小さいほど疲労強度が高く、溶接継手の疲労強度の差は K_t の差と考えられる。

(5) 板厚方向疲労強度は S 量の低下とともに上昇し、この傾向は従来材と同様で、介在物の影響として理解できる。

- (6) TMCP 材の疲労き裂伝播特性は母材、溶接継手とも従来材で得られている $C=2.16 \times 10^{-4}/99.7^n$ の関係式とよい一致を示した。

$K_t=3$ で 1.6 kgf/mm² と推定され、最軟化部に切欠を付した丸棒試験片で得られた結果と一致した。応力集中を有する溶接継

下と推定され、ほぼ無視し得る量である。

- (8) TMCP 材の板厚方向き裂伝播速度は S 含有量と相関があり、